Sumário

Introdução 2 1.1 Imagens 3 1.2 Tipos de Imagens 4 1.3 Percepção Visual de Imagens 4 1.4 Modelos de Imagens 5 1.5 Aquisição e Exibção de Imagens 7 1.6 Interação com as Imagens 8 2.1 Pontos 8 2.1 Pontos 8 2.2 Vetores 8 2.3 Funções 8 2.4 Matrizes e Transformações 16 2.5 Números Complexos 17 2.6 Integral de Fourier 18 2.7 Processamento de Amostras 18 2.8.1 Método de Newton-Raphson 20 2.8.2 Método de Newton-Raphson 22 2.8.3 Diferenças Finitas 22 2.8.4 Interpolação 22 2.8.4 Interpolação 22 2.8.5 Técnica de Mínimos Quadrados 27 2.8.1 Modelagem Geométrica 28 3.1 Vértices e Vetores Normais 28 3.2 Representações Analíticas de Curvas e Superfícies 28 3.2.1 Curvas e Superfícies de Bézier 33
magens le Imagens gens s Gráficos s Gráficos costras c

4	7	-	

7	6	Cτ	4	E_{ℓ}
Am 7.1 7.2 7.3 7.4	E ur 6.1 6.2 6.3 6.4 6.5 6.6	4.2 4.3 5.1 5.2 5.3	3.4 3.5 Tra : 4.1	EA978
Amostragem 8 7.1 Imageus Discretas 8 7.2 Algoritmos de Conversão 8 7.2.1 Rasterização de Pontos 8 7.2.2 Rasterização de Curvas 9 7.2.3 Rasterização de Áreas Preenchidas 9 7.2.4 Conversão de Modelos 3D 9 7.3 Amostragem por Convolução 9 7.4 Antialiasing 9	Iluminação 7 6.1 Luz 7 6.2 Modelos de Fontes de Luz 7 6.3 Modelos de Iluminação Local 7 6.4 Modelos de Iluminação Global 8 6.5 Tonalização 8 6.6 Espectro de Fourier 8	4.1.4 Kotagao	sificação do Espaço Particionado	— notas de aula — FEEC — 1º SEM/2003 (Ting)
87 88 90 90 90 90 90 90 90 90 90 90 90 90 90	8 8 8 8 3 3 Z	6665333334444 66653333344444	39 40 41 41 41 41	=:

Capítulo 6

Iluminação

Uma imagem planar (bidimensional) pode ser modelada como uma função f que depende de duas variáveis (duas coordenadas $u \in v$). Para a percepção visual, é suficiente que a função seja uma função de luminância/brilhância. Se a luminância/brilhânciaem cada ponto for próxima à luminância/brilhância que a superfície emite na realidade, a imagem produzirá um efeito visual próximo o de uma foto obtida por uma câmara fotográfica. Portanto, entender o processo físico de propagação da luz emitida por fontes de luz é essencial para gerar **imagens foto-realisticas**.

A luz é um conjunto de radiações capazes de impressionar o olho humano. O estudo da luz pode ser dividido em três partes:

- óptica geométrica: estuda as consequências do princípo de propagação retilínea dos raios luminosos,
- óptica energética: estuda o comportamento radiante dos raios luminosos e sua interação com a matéria.
- óptica física: estuda a dispersão, a interferência, a difração e a polarização da luz.

Na seção 6.1 sintetizamos alguns principais conceitos físicos relacionados com a luz.

Véremos que as interações entre os raios luminosos e os objetos de interesse é um processo complexo. Em Computação Gráfica, denominamos como um modelo de iluminação o procedimento que nos permite determinar/aproximar a luminância/brilhância de um ponto que devemos perceber na realidade sob o efeito de uma ou mais fontes de luz (seção 6.2). O modelo de iluminação que considera a interação de um feixe luminoso com

73

$$EA978$$
 — notas de aula — $FEEC$ — 1º $SEM/2003$ (Ting)

ಚ

um ponto da superfície é chamado modelo de iluminação local (seção 6.3) e o modelo que tenta levar em consideração as interações deste feixe com todas as superfícies existentes mun ambiente é conhecido como modelo de iluminação global (seção 6.4). Tais modelos são fundamentados em teoria de Óptica. Veremos na seção 6.5 que, por eficiência, é comun aplicar somente o modelo de iluminação numa amostra de pontos e interpolar os valores obtidos para o resto dos pontos da superfície. Finalmente, mostraremos ainda na seção 6.6 que a função de luminância/brilhância associada a uma imagem pode ser representada como espectro de Fourier, o que nos permite analisar e corrigir certos efeitos no domínio de frequência de variação das intensidades.

i.1 Luz

Existem vários modelos para descrever o comportamento da luz. A maioria dos algoritmos utilizados em Computação Gráfica é o modelo de ondas eletromagnéticas. Neste modelo, a luz é constituídas por ondas eletromagnéticas transversais que se propagam no vácuo com uma velocidade aproximada de 3.0 × 10⁸m/s. O comprimento de onda, λ , determina a cor que percebemos.

Uma onda eletromagnética é constituída de dois campos oscilantes perpendiculares entre si: elétrico e magnético. Ambos são perpendiculares à direção de propagação da onda. A energia da onda é proporcional ao quadrado da amplitude da onda.

Chamamos de fluxo (de energia) luminoso Φ (em límens) de um objeto a razão entre a quantidade de energia radiante que um objeto emite durante um certo intervalo de tempo. A intensidade luminosa (em candelas) de um objeto em uma determinada direção refere-se à razão entre o fluxo luminoso que ele emite através de um pequeno ângulo sólido cujo eixo é a direção considerada. A luminância ou brilhância I de um objeto em uma determinada direção entre a intensidade luminosa $\frac{\sigma}{\omega}$ do objeto na direção considerada e a área A_p da projeção do obejto sobre um plano perpendicular a esta direção

$$I = \frac{\Psi}{A_p \omega}$$

Observação 6.1 Se o fluxo não for perpendicular à superfície, isto é ter em relação ao vetor normal da superfície um ângulo $\theta \neq 0$, a luminância

$$EA978$$
 — notas de aula — $FEEC$ — 1º $SEM/2003$ (Ting)

74

será dada por

$$I = \frac{\Phi}{A_{p} cos\theta\omega} \tag{6.1}$$

(Ver Fig. 16.40 do livro-texto de Foley.)

Observação 6.2 A Fotometria trata do estudo das grandezas relativas à emissão e à recepção de radiações luminosas (visíveis) e da medição dessas grandezas. A Radiometria, por sua vez, trata do estudo das radiações visíves ou não. Neste caso, o qualitativo "unminoso" é trocado para "energético" ou "radiante"; a unidade energética como watts (W), ou outra unidade usual de potência, é utilizada para medir o fluxo radiante no hugar de húmens; a intensidade radiante passa a ser medida por $\frac{W}{87}$, onde sr é em esferorradianos; e a radiação por $\frac{W}{870}$.

Observação 6.3 Existem várias aproximações para ângulos sólidos ω .





Uma das mais conhecidas é considerar a razão da área esférica subtendida pelo ângulo sálido e o quadrado do raio:

$$d\omega = \frac{dA_p}{r_0^2} = sen\phi d\phi d\theta,$$

onde $A_{\rm p}$ é a área projetada da superfície do objeto (contida no ângulo sólido) sobre um plano numa determinada direção, $r_{\rm 0}$ é a distância do objeto em relação ao plano e ϕ e θ as coordenadas polares. Por exemplo, o ângulo sólido de uma esfera é 4π .

Exercício 6.1 Considere uma fonte luminosa esférica emitindo uma intensidade luminosa constante em todas as direções totalizando I=100 candelas. Qual é o fluxo luminoso total que ela emite?

Exercício 6.2 O fluxo total emitido por uma fonte luminosa de intensidade constante em todas as direções e sentidos é 628 lúmens. Qual é a intensidade luminosa da fonte?

Exercício 6.3 Qual é o ângulo sólido de uma semi-esfera:

$$EA978$$
 — notas de aula — $FEEC$ — I^o $SEM/2003$ (Ting)

3

As propriedades elétricas do meio por onde a luz passa afetam a trajetória de propagação da luz. O campo magenético da onda afeta os elétrons no material e produz diferentes efeitos ópticos. De acordo com o movimento dos elétrons, distinguem-se duas classes de materiais:

- dielétricos: os elétrons são bastante estáveis; portanto, afeta muito pouco a direção de propagação e desacelera a velocidade de propagação da onda e
- condutores: há muitos elétrons livres; portanto, novas ondas eletromagnéticas podem ser geradas e emitidas.

Os findices de refração e de absorção são utilizados para caracterizar as propriedades ópticas dos meios. O findice de refração absoluto de um meio é a razão entre a velocidade de propagação da luz no vácuo e a velocidade de propagação da luz no meio considerado.

Exercício 6.4 Uma dada radiação se propaga num meio de índice de refração igual a 1.5. Qual é a velocidade de propagação da radiação neste meio?

A mudança dos meios de propagação da luz provoca fenômenos conhecidos como **reflexão** e **refração** na superfície de separação S dos dois meios. O comportamento da onda em cada ponto P segue as leis de Descartes-Snell:

Reflexão : os raios incidente, refletido e o vetor normal de S em P estão no mesmo plano e o ângulo de incidência θ_t e o ângulo de reflexão θ_T são iguais.

Refração : os raios incidente, refratado e o vetor normal de S em P estão no mesmo plano e $n_i sen\theta_i = n_i sen\theta_t$, onde θ_r é o ângulo de refração e n_i e n_t os respectivos índices de refração.

Exercício 6.5 Se um mio haminoso incide com um ângulo de 45^0 na face superior de um cubo de vidro, cujo índice de refração é $\sqrt{2}$, qual será o ângulo de emergência do raio se o cubo estiver imerso no ar $(n\approx 1.0)$? e num meio cujo índice de refração é n=1.2?

Exercício 6.6 Um raio de luz monocromática ao se refratar forma um ângulo de incidência cujo seno é 0.60 e um ângulo de refração igual a 30°. Qual é o indice de refração do meio que contém o raio refratado em relação ao meio que contém o raio incidente?

$$EA978$$
 — notas de aula — $FEEC$ — 1º $SEM/2003$ (Ting)

75

A relação entre as energias do raios incidentes Φ_t , refletidos Φ_r e refratados Φ_t obedece o princípio da conservação da energia, isto é

$$\Phi_i = \Phi_r + \Phi_t.$$

Observação 6.4 Quanto maior for o fator de absorção de un objeto, maior será o fluxo radiante emitido por ele.

As relações $F_r = \frac{\Phi_r}{\Phi_r}$ e $F_t = \frac{\Phi_t}{\Phi_t}$ dependem dos índices de refração dos meios, da polarização da luz incidente e do ângulo de incidência. Estas relações para superfícies de separação "idealmente polidas" são estabelecidas pelas **equações de Fresnel**. F_r e F_t são conhecidas, respectivamente, como **refletância de Fresnel** e **transmitância de Fresnel**.

Um importante resultado das equações de Fresnel é a **lei de reciprocidade** que garante que as relações de reflexão e refração são independentes da direção de propagação da luz.

Os fluxos refletidos e refratados podem ser ainda decompostos em duas partes: a parte coerente e a parte incoerente ou difusa. A parte coerente corresponde à incidência de fluxos coerentemente orientandos e a parte incoerente corresponde à incidência incoerente de fluxos em relação à superfície (de separação de dois meios). É de se esperar que a luminância de superfícies bem polidas seja predominantemente coerente.

O comportamento incoerente dos raios luminosos é o que ocorre na maioria dos fenômenos observados na natureza. As superfícies de separação de dois meios nunca são perfeitamente polidas. O comportamento difuso de raios luminosos é, entretanto, muito complexo para ser modelado e analisado.

Exerctico 6.7 Dadas duas superfícies cuja única diferença entre elas reside no polimento. Qual das duas possui maior fator de absorção? Qual dela emite mais radiações?

A iluminância (ou aclaramento) i (em lux ou lúmen/m²) de uma superfície é a razão entre o fluxo luminoso que sobre ela incide e a sua área. Segundo a lei de Lambert, a iluminância produzida numa superfície é expressa por

$$i = \frac{I\cos\theta}{d^2},$$

onde θ é o ângulo de incidência e d é a distância da superfície a fonte.

$$EA978 - \text{notas de aula} - \text{FEEC} - 1^{\text{o}} \text{ SEM/2003 (Ting)}$$

Exercício 6.8 Duas fontes de intensidade constante em todas as direçõs $(I_1 = 100 \text{ candelas e } I_2 = 25 \text{ candelas})$ se encontrum a 6 m uma da outru. Em que posição, entre elas, devemos colocar um anteparo para que seja igualmente iluminado dos dois lados?

Exercício 6.9 Uma lâmpada de 90 candelas está a 3 m acima de um piso. Uma outra, de 630 candelas, também se encontra a 3 m do mesmo piso. O iluminamento no ponto A do piso, equidistante das duas lâmpadas, é 10,0 hux. Qual é a distância entre as duas lâmpadas?

Finalmente, a **emitância luminosa** (ou **radiância luminosa**) de uma fonte é a razão entre o fluxo luminoso que ela emite e a área da sua superfície.

Observação 6.5 Os mios de um feixe luminoso são independentes. Quando eles se cruzam os efeitos se sobrepõem.

.2 Modelos de Fontes de Luz

Em Computação Gráfica as fontes de luz são tratadas de forma diferenciada dos objetos geométricos. Os objetos não são capazes de produzir fluxos luminosos, enquanto as fontes são emissores de raios.

Uma fonte de luz pode ser classificada em:

distante: a energia luminosa flui uniformemente no espaço numa direção específica. Neste caso, o fluxo luminoso/luminância irradiado por ela é constante.

pontual : (ou fonte puntiforme) distribuir adialmente o fluxo luminoso/luminância que atenua à medida que se afasta da fonte através de um **fator de atenuação** f_{at} . As duas expressões mais usuais para computar este fator em função da distância d são

- $f_{at} = \frac{1}{d^2}$, e
- $f_{at} = min(\frac{1}{c_1 + c_2 d + c_3 d^2}, 1).$

 ${f spot}$: simula um feixe cónico ou pircel de raios luminosos apontado para uma direção específica d com a abertura γ . O controle do decaimento da luminância I é através do ${f expoente}$ da fonte ${f spot}$ c

$$Icos^c\theta$$
 $\theta \in [0,\gamma].$

77

Como a fonte pontual, a luminância pode ser atenuada à medida que aumenta a distância do objeto em relação à fonte através de um fator de atenuação.

(Ver Figs. 16.13-16.16 do livro-texto de Foley.)

extensa : (ou distribuída) simula uma área de luminância. Este tipo de fonte pode gerar efeitos de penumbras ao interagir com um objeto.

(Ver Figs. 16.48 e 16.49 do livro-texto de Foley.)

5.3 Modelos de Iluminação Local

De acordo com o modelo físico da propagação de um feixe luminoso, a luminância/brilhância em um ponto da superfície pode ser determinado com uso da lei de Descartes-Snell e equações de Fresnel. Como a lei de Descartes-Snell depende da direção do vetor normal à superfície, a complexidade da função de luminância/brilhância f(u,v) cresce com o grau de rugosidade de uma superfície. Além disso, quando aumenta a rugosidade, os raios de um feixe luminoso podem ser bloqueados pela própria superfície, reduzindo o fluxo luminoso por área. Embora possamos encontrar na literatura propostas para modelar a rugosidade da superfície e os coeficientes de Fresnel, elas são pouco aplicadas em Computação Gráfica quando analisadas sob o ponto de vista do compromisso entre a complexidade e a qualidade da imagem produzida.

(Ver Figs. 16.41, 16.43, 16.44 e 16.46 do livro-texto de Foley.)

Como os objetos considerados em Computação Gráfica tem uma iluminação predominantemente incoerente, uma forma para modelar a luminância/brilhância é decompor a parte incoerente do raio incidente i em três componentes: ambiente $(I_{a,i})$, difusa $(I_{d,i})$ e especular $(I_{s,i})$. Assim, a luminância/brilhância I em cada ponto $[x\ y\ z]^t$ é obtida por

$$I = k_a \sum_i I_{a,i} + k_d \sum_i I_{d,i}(\vec{N} \cdot \vec{L}_i) + k_s \sum_i I_{s,i} f_s(\vec{V}, \vec{L}_i, \vec{N}), \quad k_a, k_s, k_d \in [0,1]$$

onde \vec{N} , \vec{L}_i e \vec{V} são, respectivamente, a direção do vetor normal, do raio incidente i e do observador em relação ao ponto da superficie. Os coeficientes k_a , k_d e k_s são denominados **coeficiente de reflexão (dos raios do)** ambiente, **coeficiente de reflexão difiusa** e **coeficiente de reflexão especular** do material. Estes coeficientes emulam os coeficientes de Fresnel, definindo a percentagem dos raios incidentes que são refletidos.

(Ver Figs. 16.3 – 16.5 do livro-texto de Foley.)

$$EA978$$
 — notas de aula — $FEEC$ — 1º $SEM/2003$ (Ting)

79

Observação 6.6 A componente $I_{d,i}(\vec{N}\cdot\vec{L})=I_{d,i}cos\theta$, onde θ é o ângulo de incidência, é a iluminância no ponto segundo a Lei de Lambert sem o fator de atenuação $\frac{1}{d^2}$.

A distinção de raios luminosos em três partes decorre do fato de que em Computação Gráfica somente os objetos capazes de irradir energia luminosa independentemente das condições luminosas do ambiente são considerados fontes de luz (seção 6.2). A reflexão e a refração destes objetos são normalmente ignoradas. Isso nos leva a distinguir os raios incidentes em dois grupos: raios oriundos diretamente das fontes luminosas (I_d e I_s) e raios provenientes dos outros objetos. A distinção em I_d e I_s é para diferenciar comportamentos de um raio em relação à superfície de separação de diferentes meios: I_d é a parcela idealmente difusa (fluxo refletido é igual em todas as direções) e I_s é a parcela do fluxo refletido na direção do observador. (Ver Figs. 16.8 do livro-texto de Foley.)

O fator de atenuação f_s é outro parâmetro empírico para atenuar o fluxo especular refletido \vec{R} à medida que este se afasta da direção do observador \vec{V} . Entre as equações propostas para calcular este parâmetro, citamos:

Phong:
$$f_s=(\vec{V}\cdot\vec{R})^n,$$
 sendo $\vec{R}=2\vec{N}(\vec{N}\cdot\vec{L})-\vec{L}.$ (Ver Figs. 16.9 do livro-texto de Foley.)

Romney: $f_s = \frac{(\vec{N} \cdot \vec{L})^2}{d^4}$.

$$\begin{aligned} \textbf{Blinn:} \ f_s &= (\vec{V} \cdot \vec{H})^n, \\ \text{com } n &= -\frac{ln(\vec{N} \cdot \vec{H})}{ln(\vec{N} \cdot \vec{H})} \, \text{e} \, \vec{H} \, \text{o} \, \, \text{bissetor dos vetores} \, \vec{L} \, \text{e} \, \vec{V}. \\ \text{(Ver Figs. 16.12 do livro-texto de Foley.)} \end{aligned}$$

O escalar n é chamado expoente de reflexão especular.

Exercício 6.10 Derive a expressão $\vec{R}=2\vec{N}(\vec{N}\cdot\vec{L})-\vec{L}$, utilizando as relações geoméricas entre os vetores \vec{N},\vec{L} e \vec{R} .

O modelo de iluminação local mais popular para determinar a intensidade luminosa de objetos refletores não-perfeitos como maçãs ϵ o de Phong

$$I = k_a \sum_i I_{a,i} + f_{at} \sum_i I_i \{ k_{\vec{a}}(\vec{N} \cdot \vec{L}_i) + k_s(\vec{R} \cdot \vec{V}) \}, \quad k_a, k_s, k_{\vec{d}} \in [0,1]. \quad (6.3)$$

Observação 6.7 Se a fonte de luz for uma fontes distante, o termo $\vec{N}\vec{L}$ é constante.

Exercício 6.11 Seja um ponto $P = [2 \ 4 \ 0]^t$ de uma superfície cujo vetor normal naquele ponto é $\vec{n} = [\frac{1}{\sqrt{3}} \ \frac{1}{\sqrt{3}}]^t$. Considere ainda que há uma fonte puntiforme situada em $F = [4 \ 5 \ 3]^t$ com uma intensidade igual a 100 candelas em todas as direções. Utilize o modelo de Phong para determinar a intensidade percebida por um observador localizado em $O = [5 \ 5 \ 0.5]^t$ para o caso de

- 1. a superfície ser uma superfície lambertiana "perfeita".
- a superfície ser um refletor não perfeito com pontos de brilho de grande extensão.
- a superfície ser um refletor não perfeito com pontos de brilho de extensão bem limitada.

Exercício 6.12 Se o meio de propagação no Exercício 6.11 tiver um fator de atenuação $f_{st} = \frac{1}{a^2}$, qual seria a intensidade percebida pelo observador em cada um dos casos?

Um outro modelo alternativo, apropriado para casos em que ambos o observador e a fonte serem distantes, é substituir o termo $(\vec{R}\cdot\vec{V})$ por $(\vec{N}\cdot\vec{H})$

$$I = k_a \sum_i I_{a,i} + f_{at} \sum_i I_i \{ k_d(\vec{N} \cdot \vec{L}_i) + k_s(\vec{N} \cdot \vec{H}) \}. \quad k_a, k_s, k_d \in [0,1]. \eqno(6.4)$$

Exercício 6.13 Mostre que α e β da Figura 16.12 do livro-texto de Foley guarda a relação α = 2 β quando todos os vetores da Figura forem coplanares. Essa igualdade vale também para casos em que os vetores envolvidos não serem coplanares?

Exerctio 6.14 Por que o modelo expresso pela Eq. 6.4 é considerado mais eficiente nos casos em que ambos o observador e a fonte estiverem muito distantes da superfície de interesse?

Observação 6.8 Tanto os coeficientes de reflexão quanto o expoente de reflexão são valores empíricos. Infelizmente, não há ainda nenhum procedimento que nos ajuda na escolha dos valores destes parâmetros para obter um efeito visual específico. Uma regra muito utilizada é:

 $\kappa_a \approx \kappa_d$

$$EA978$$
 — notas de aula — $FEEC$ — I^o $SEM/2003$ (Ting)

22

• $k_d + k_s = 1$.

Um outro paradigma para computar a luminância/brilhância seria, ao invés da análise do comportamento ondulatório, utilizar o princípio de equilíbrio de energia

$$\phi_k = \phi_{E,k} + \rho \phi_{H,k} = \phi_{E,k} + \rho \phi_k F_{kk} + \sum_{j \neq k} \rho \phi_j F_{jk},$$
(6.5)

isto é, o fluxo ϕ_k (radiosidade) emitido pela superficie k é igual à soma do fluxo $\phi_{E,k}$ irradiado (se a superficie k não for uma fonte luminosa, $\phi_{E,k}=0$) e o fluxo $\phi_{H,k}$ refletido pela superficie. O fluxo refletido é, por sua vez, uma percentagem F_{jk} dos fluxos emitidos pelas superficies j no ambiente. O parâmetro F_{jk} é conhecido como **fator de forma** entre as áreas A_j e A_k . (Ver Figs. 16.65 e 16.66 do livro-texto de Foley.)

Para simplificar as expressões algébricas, o "ambiente envoltório" de cada elemento irradiador é aproximado por uma **semi-esfera** ou um **semi-cubo**. Quando a aproximação é por uma semi-esfera de raio r, o fluxo luminoso é

$$\phi = I \int d\phi = I \int_{w} \cos\phi dw = I \int_{\phi} \int_{\theta} \cos\phi \operatorname{sen}\phi d\phi d\theta = I\pi \qquad ($$

e o fator de forma

$$F_{jk} = \frac{1}{A_j} \int_{\Omega_j} \int_{\Omega_k} \frac{\cos\phi_j cos\phi_k}{\pi r^2} dA_k dA_j.$$

A aproximação do envoltório mais popular é, entretanto, semi-cubo. Nesta aproximação, considera-se que cada retalho de superficie irradiador dA_i é envolvido por um semi-cubo centrado nele com o vetor normal N_i passando pelo baricentro da face superior do semi-cubo. O fator de forma dos pares formados por dA_i e cada célula p do semi-cubo fica reduzido em

$$\Delta F_{dA_i dA_j} = \frac{\cos\theta_i \cos\theta_p}{\pi r^2} \Delta A, \tag{6.7}$$

onde θ_p é o ângulo entre o vetor normal da célula p do semi-cubo e o vetor \vec{r} de dA_i para p e θ_i é o ângulo enter o vetor normal de dA_i e \vec{r} . ΔA é a área de cada célula p.

(Ver Figs. 16.67 e 16.68 do livro-texto de Foley.)

Com esta aproximação, a expressão de fatores de forma para cada par F_{ij} , onde j denota uma célula de coordenadas $[x_p \ y_p \ 1]^\ell$ na face de topo do semi-cubo, ϵ dada por

$$\Delta F_{dA_i dA_j} = \frac{1}{\pi (x_p^2 + y_p^2 + 1)^2} \Delta A_j$$

$$EA978$$
 — notas de aula — $FEEC$ — 1º $SEM/2003$ (Ting)

EA078 = n

82

e quando a célula j pertence a uma face de lado do semi-cubo, temos

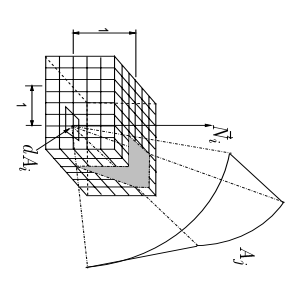
$$\Delta F_{dA_i dA_j} = \frac{1}{\pi (h_p^2 + z_p^2 + 1)^2} \Delta A_j,$$

onde h_p pode ser x_p ou y_p , de acordo com o lado considerado.

Quando o objeto receptor de energia tem uma área projetada maior que a de uma célula, por exemplo $A=\sum A_{j}$, então o fator de forma é obtido como a somatória dos fatores de forma de cada célula

$$\sum \Delta F_{dA_i dA_j} = \Delta F_{dA_i A_j}.$$

Exercicio 6.15 Supondo que o fator de forma seja $\Delta F_{dA_idA_j} = 0.03$, constante para cada célula do semi-cubo. Qual é o fator de forma F_{ij} entre os retalhos $A_i \in A_j$?



Observação 6.9 Para obter bons efeitos visuais, recomenda-se que os valores F_{jk} sejam escolhidos de tal forma que

- $\bullet \ \sum_k Fjk = 1,$
- $\phi_j F_{jk} = \phi_k F_{kj} e$
- $F_{jj} = 0$ (semi-esfera e semi-cubo são superfícies convexas).

6.4 Modelos de Iluminação Global

Dois paradigmas são utilizados em Computação Gráfica para descrever as interações entre as superfícies e fontes de luz num ambiente:

$$EA978$$
 — notas de aula — $FEEC$ — 1^o $SEM/2003$ (Ting)

Traçado de raio: a partir da posição do observador, um raio é propagado até a fonte de luz ou até um nível de propagação pré-estabelecido, obedecendo a lei de Descartes-Snell. A propagação do raio pode ser representado por uma árvore binária onde os nós denotam as superfícies encontradas e um dos ramos os raios refletidos e outro, raios refratafos. Entendemos por um nível de propagação o percurso de um raio entre as superfícies de dois objetos. Este paradigma é conhecido como depedente do observador.

Radiosidade: montar um sistema de equações lineares (Eq. 6.5), cada qual corresponde a um retalho k de superficie da cena e solucionar o sistema por um método numérico, como o de iteração de Gauss-Seidel. Há, porém, técnicas iterativas computacionalmente mais eficientes e mais estáveis para obter a radiosidade ϕ_k de cada retalho, cujos detalhes fogem do escopo desta disciplina. A partir de ϕ_k dos retalhos de superfície adjacentes a um vértice, pode-se determinar por média aritmética a radiosidade do vértice. E, com uso da Eq. 6.1, chega-se à luminância/brilhância em cada vértice ao fixarmos a direção de radiação. Como o procedimento utilizado para computar o fluxo luminoso irradiado por cada retalho k não depende da posição do observador, este modelo de iluminação global é conhecido como independente do observador.

(Ver Fig.
$$16.64$$
 do livro-texto de Foley.)

Exercício 6.16 Cosiderando que o fluxo total irradiado igualmente em todas as direções por uma superfície esférica centrada na origem seja 2.52×10^3 lumens, qual é a intensidade luminosa na direção $[1 \ 1 \ 1]^{1/2}$

Uma das funções críticas na implementação de um modelo de iluminação global é a determinação de interseção entre um raio (direção de um raio luminoso ou direção do observador) e a superfície de interesse. Esforços tem sido feitos no sentido de desenvolver algoritmos de baixa complexidade:

com um plano arbitrário definido pelo vetor normal $\vec{n} = [x_n \ y_n \ z_n]^t e$ por um ponto $P_0 = [z_0 \ y_0 \ z_0]^t$ sobre o plano. Seja um raio na direção $\vec{d} = [x_d \ y_d \ z_d]^t$ que sai do ponto $P_s = [x_s \ y_s \ z_s]^t$. Então, o ponto $P(t_s) = P_s + t_s \vec{d}$ deve satisfazer

$$(P(t_*)-P_0)\vec{n}=\vec{n}(P_s+t_*\vec{d})-\vec{n}P_0=t_*\vec{n}\vec{d}-\vec{n}(P_s-P_0)=0.$$

83

$$EA978$$
 — notas de aula — $FEEC$ — 1º $SEM/2003$ (Ting)

20

$$t_*\vec{n}\vec{d}=\vec{n}(P_s-P_0)$$

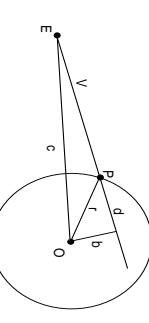
$$t_* = \frac{\vec{n}(P_s - P_0)}{\vec{n}\vec{d}}.$$

com o plano no ponto $P=P_s+t_*\vec{d}$ quando $t_*>0.$ Portanto, para $\vec{n}\vec{d}\neq 0$ (raio não paralelo ao plano), o raio intersecta

com uma esfera de raio r centrado em O, então o ponto P da sua interseção com um raio P(t) = E + tV é

$$P = E + (v - d)V,$$

onde $v = \vec{EOV}$ e $d = \sqrt{r^2 - ((\vec{EOEO}) - v^2)}$, se $r^2 - ((\vec{EOEO}) - v^2) > 0$



com uma superficie implítica em forma de f(x,y,z) = 0. Neste caso determina-se as raizes da equação $f(x_s + tx_d, y_s + ty_d, z_s + tz_d) = 0$.

Exercício 6.17 Determine a interseção de um raio $P(t) = P_s + t\vec{d}$ com un

 $triangulo\ sobre\ o\ plano\ xz$. **Exercício 6.18** Determine a interseção de um raio $P(t) = P_s + td$ com un

Exercício 6.19 Verifique se o raio

$$P(t) = \begin{bmatrix} -2 \\ 1 \\ 1 \\ -1 \end{bmatrix} + t \begin{bmatrix} 1 \\ 0 \\ -1 \end{bmatrix}$$

 $\vec{n} = [1 \ 1 \ 2]^t$. intersecta com um plano definido pelo ponto $P_0 = [1 \ 1 \ 0]^t$ e o vetor normal

$$EA978$$
 — notas de aula — $FEEC$ — 1^o $SEM/2003$ (Ting)

 $em\ P = [2\ 4\ 1]^t\ e\ o\ mio$ Exercício 6.20 Determine a interseção entre uma esfera de raio 8 centrado

$$P(t) = \begin{vmatrix} 2 & 1 \\ 0 & +t & 0 \\ 5 & -2 \end{vmatrix}$$

6.5 Tonalização

a brilhância para o resto dos pontos do objeto. Este tipo de interpolação é Sendo o processo de determinação de brilhância um processo complexo, é conhecido como tonalização de Gouraud. ou da Eq. 6.5 somente em alguns pontos (usualmente os vértices) e interpolar comum em Computação Gráfica determinar a brilhância com uso da Eq. 6.2

cessivas resultam sempre no mesmo valor, independentemente da sequência Exercício 6.21 Exceto para facetas triangulares, o valor interpolado de-pende da ordem de interpolação, como ilustra a Fig. 16.20 do luvro-texto de Foley. Por que para as facetas triangulares, duas interpolações lineares su-

aumentar o número de vértices na malha que a representa pontos de brilho no meio de uma superfície. Para evitar isso, recomenda-se Observação 6.10 Um dos problemas de tonalização de Gouraud é perda de

tonalização de Phong.
(Ver Fig. 16:20 do livro-texto de Foley.) pontos com uso destes vetores normais. Chamamos este tipo de interpolação normais de alguns pontos escolhidos e determinar a brilhância do resto dos Um segundo tipo de interpolação utilizada é a interpolação dos vetores

não é suave, com descontinuidades nos vetores normais. Observação 6.11 A tonalização de Phong pode falhar quando a superficie

Espectro de Fourier

A associação de um ponto (u,v) numa imagem conínua com um valor de luminância/brilhância é, de fato, uma função f(u,v) que pode ser tratada

œ,

como um sinal contínuo bidimensional, definido sobre duas variáveis. Como para processamento de imagens é razoável supor que as condições de existência da integral de Fourier para f(u,v) sempre são satisfeitas, f(u,v) pode ser reescrita em uma integral de Fourier em forma complexa. Associada a esta integral temos uma transformada de Fourier F(s,t) definida no domínio de frequências s e t.

Observação 6.12 A integral de Fourier pode conter componentes de altíssimas frequências, quando há variações abruptas de luminância/brilhância na imagem (descontinuidades ao longo das arestas).

Veremos nos Capítulos 7 e 9 que a representação no domínio de frequência não só facilita certas operações relacionadas com o processamento de imagens como também permite definir um procedimeto de amostragem mais apropriada para obter uma imagem discreta mais fiel possível da imagem original de forma a permitir uma boa reprodução por um dispositivo gráfico de saída.